

## مدل‌سازی عددی جریان و انتقال حرارت جابجایی طبیعی در محیط متخلخل

### به روش شبکه بولتزمن- تاثیرات نانوسيال و هندسه مرزهای جریان

آرمون آدامیان<sup>۳</sup>

محمد طبیبی رهنی<sup>۲</sup>

یاسر جعفری<sup>۱</sup>

دانشکده فنی و مهندسی

دانشکده هوافضا

دانشکده فنی و مهندسی

دانشگاه آزاد اسلامی واحد تهران مرکزی

دانشگاه صنعتی شریف

دانشگاه آزاد اسلامی واحد تهران مرکزی

(تاریخ دریافت: ۹۴/۱/۲۴؛ تاریخ پذیرش: ۹۴/۱۰/۱۴)

#### چکیده

در پژوهش پیش رو، انتقال حرارت جابجایی طبیعی نانوسيال در محیط متخلخل، با استفاده از روش شبکه بولتزمن به صورت عددی مورد بررسی قرار گرفته است. هندسه انتخاب شده برای بررسی مسئله موردنظر شامل محفظه سرد خارجی و سیلندرهای گرم داخلی با آرایش‌های تک، سه و چهار سیلندره می‌باشد. نقطه مشترک هندسه‌ها جهت مقایسه عملکرد حرارتی آنها، مساحت انتقال حرارت برابر می‌باشد. آرایش شبکه D2Q9 برای توابع توزیع چگالی و دما استفاده شده است. تاثیر حضور محیط متخلخل به صورت عبارت منبع وارد معادله بولتزمن تابع توزیع چگالی می‌شود. در واقع از مدل برینکمن- فورچیم برای شبیه‌سازی محیط متخلخل استفاده شده است. صحت شبیه‌سازی حاضر با استفاده از نتایج با تحقیقات معتبر صحبت‌سنجدی شده است. تطبیق خوب نتایج، نشان‌دهنده دقت بالای شبیه‌سازی حاضر می‌باشد. تأثیر اعداد رایلی، دارسی، ضربی تخلخل محیط، تعداد و آرایش سیلندرها روی عدد ناسلت دیواره سرد محفظه و عملکرد حرارتی هندسه‌ها بررسی شده‌اند. نتایج به دست آمده به خوبی رفتار جریان نانوسيال و توزیع دمای داخل محیط متخلخل را نشان می‌دهد. بر حسب نتایج، با افزایش عدد رایلی، دارسی و ضربی تخلخل انتقال حرارت جابجایی طبیعی افزایش می‌یابد. همچنین، بر حسب نتایج برای انتخاب هندسه مناسب از بین سه هندسه تعریف شده برای سیلندرها، جهت انتقال حرارت بهتر باید هم‌زمان به رایلی و ضربی تخلخل توجه کرد. همچنین، نتایج بیانگر افزایش انتقال حرارت با افزایش کسر حجمی نانوذرات به کار گرفته شده، می‌باشد.

**واژه‌های کلیدی:** روش شبکه بولتزمن، انتقال حرارت جابجایی طبیعی، نانوسيال، محیط متخلخل

### Computational Modeling of Flow and Natural Convective Heat Transfer in Porous Media, Using LBM- Effects of Nano-fluidicity and Domain Geometry

Y. Jafari

Mechanical Engineering Group  
Islamic Azad University  
Central Tehran Campus

M. Taebie Rahni

Aerospace Engineering Department  
Sharif University of Technology

A. Adamian

Mechanical Engineering Group  
Islamic Azad University  
Central Tehran Campus

(Received: 13/April/2015; Accepted: 4/January/2016)

#### ABSTRACT

Natural convective heat transfer of nano-fluid in porous media is present in many advanced engineering applications. In this work, this problem has been computationally simulated, using LBM. The configuration used includes a cold exterior region and hot interior cylinders with one-, two-, or three-cylinder arrangements. However, the effective area for heat transfer has been kept the same for all three cases. A D2Q9 grid has been used. To consider the porous media, the related source term has been considered in the equation of relation density distribution function (the Brinkman-Forchheimer model has been used). Our results have been validated using previous available valid data which shows relatively close agreements. The effect of Rayleigh and Darcy numbers, porosity, and arrangements of the cylinder(s) on the Nusselt number of the cold region wall and also the heat transfer performance of the configuration have been investigated in this work. Our results closely simulate the nano-fluid behavior inside the porous media. The results show that as the Rayleigh and Darcy numbers and porosity increase, natural convective heat transfer is enhanced. In addition, as the number of cylinders increases, such heat transfer is enhanced considerably. Finally, as expected, as the nano-particle's void fraction increases, convective heat transfer is increased.

**Keywords:** Lattice Boltzmann Method (LBM), Natural Convective Heat Transfer, Nano Fluids, Porous Media

۱- کارشناسی ارشد: yas.jafari.eng@iauctb.ac.ir

۲- استاد (نویسنده پاسخگو): taeibi@sharif.edu

۳- استادیار: arm.adamiayan@iauctb.ac.ir

## فهرست علائم و اختصارات

Da	عدد دارسی
$f_i$	تابع توزیع حریان
$g_i$	تابع توزیع دما
K	نفوذپذیری
Nu	عدد نسلت
P	فشار
Ra	عدد رایلی
T	دما

### علائم یونانی

$\rho$	چگالی
$\varepsilon$	ضریب تخلخل

### زیرنویس

ave	مقدار میانگین
loc	مقدار محلی
$f$	سیال
$nf$	نانوسیال
s	جامد

### بالانویس

eq	متغیر تعادلی
----	--------------

### ۱- مقدمه

امروزه مواد متخلف کاربردهای متعددی در زمینه‌های مختلف مهندسی پیدا کرده‌اند. انتقال حرارت در محیط متخلف یکی از عنوان‌های مهم و حائز اهمیت است که در دهه‌های اخیر مورد توجه بسیاری از محققان قرار گرفته است. انگیزه اصلی انجام تحقیقات در زمینه انتقال حرارت در محیط متخلف در واقع کاربرد وسیع آن از جمله جداسازی ذرات محلول در سیالات مختلف، بهینه سازی عایق‌های حرارتی، افزایش انتقال حرارت به صورت موضعی، تصفیه مواد در صنایع بیولوژیک، ساخت کامپوزیت‌ها و صنایع الکترونیک و غیره می‌باشد [۱-۴]. هدف از انجام تحقیقات پی‌بردن به رفتار انتقال حرارت در محیط متخلف است.

در سال ۱۹۹۷، نیتیاراسو<sup>۱</sup> و همکارانش [۵] یک مدل کلی غیردارسی محیط متخلف برای جریان همرفتی طبیعی با توجه به حساب خطی و ماتریس‌های غیرخطی نیروهای اینرسی و ویسکوزیته در مایع ارائه کردند. نتایج حاصل از مدل آنها با استفاده از داده‌های تجربی و پیش‌بینی‌های مدل‌های مختلف

[۱]- Moukalled and Acharya

[۲]- Guo and Zhao

[۳]- Seta

[۴]- Nor Azwadi and Irwan

[۵]- Zhao

[۶]- Bounce Back

[۷]- Nithiarasu

پیش رو جریان و انتقال حرارت جابه‌جایی آزاد نانوسيال بین محفظه مربعی سرد و سیلندر داخلی گرم که مملو از محیط متخلخل همگن با روش شبکه بولتزمن شبیه‌سازی شده است. از ویژگی‌های این شبیه‌سازی به کارگیری روش شبکه بولتزمن با دوتابع توزیع برای حل میدان جریان و گرما و با درنظر گرفتن اثرات محیط متخلخل به صورت سورس‌ترم اضافه شده به معادلات تعادل می‌باشد. تاثیر اعداد رایلی و دارسی، ضریب تخلخل، کسر حجمی نانوذرات و تعداد سیلندرهای داخلی بر روی جریان و ویژگی‌های انتقال حرارتی جریان جابه‌جایی طبیعی نانوسيال در محیط متخلخل با وجود هندسه‌های مختلف مطالعه خواهد شد.

## ۲- تعریف مسئله و روش حل آن

در این بخش مسئله مورد نظر و روش به کار گرفته شده برای حل آن به تفضیل بیان می‌شود. روش حل با تحقیقات معتبر گذشته صحت‌سنگی شده است که نتایج آن نیز در ادامه این بخش نشان داده می‌شود.

### ۱-۱- هندسه مسئله

شکل ۱ نشان‌دهنده هندسه مسئله مطرح شده، شامل یک محفظه مربعی با اندازه ضلع  $L$  و سیلندر یا سیلندرهای داخلی با طول مشخصه  $R$  می‌باشد. سطوح محفظه بیرونی در دمای سرد ثابت  $T_c$  و سطوح سیلندر یا سیلندرهای داخلی در دمای گرم ثابت  $T_h$  قرار دارند. فضای بین محفظه و سیلندر یا سیلندرها با محیط متخلخل پر شده است. سیال استفاده شده در شبیه‌سازی و اعتبارسنجی نتایج به ترتیب نانوسيال آب-مس و هوا می‌باشد، که خواص ترموفیزیکی آنها در جدول ۱ بیان شده است [۱۷]. سیلندرهای داخلی در شکل‌های تک‌دایره، سه‌دایره و چهار‌دایره ظاهر می‌شود. طول مشخصه سیلندرهای داخلی به گونه‌ای تعیین می‌شود که مجموع سطوح انتقال حرارت آنها (چون شکل دو بعدی می‌باشد منظور همان محیط سیلندرها خواهد بود) در هر سه هندسه با هم برابر باشند. در حالت سه‌دایره‌ای مختصات مراکز بروی رؤوس مثلث محاط شده در سیلندر تک‌دایره می‌باشد، به گونه‌ای که قاعده مثلث محاط موازی ضلع بالایی محفظه مربعی باشد. در حالت چهار‌دایره‌ای مختصات مراکز بروی رؤوس مربع محاط شده در سیلندر تک‌دایره می‌باشد، به گونه‌ای که یکی از ضلع‌های مربع محاط موازی ضلع محفظه مربعی باشد. هدف یافتن هندسه‌ای

نسبت به حالت کروی دار است، که این اتفاق به واسطه ترکیب قوی جریان و مساحت سطح بیشتر در حالت مربعی می‌باشد. ازمی و سیدیک<sup>۸</sup> [۱۱] نتایج تحقیقات خود را در سال ۲۰۱۲ برای بررسی کارایی روش شبکه بولتزمن در پیش‌بینی رفتار جریان گرمایی سیال در یک محفظه مربعی مملو از محیط متخلخل منتشر کردند. آنها دریافتند که دینامیک و ساختار ورتكس‌های ابتدایی به طور قابل توجهی تحت تاثیر عدد رایلی و تخلخل محیط می‌باشند. حبیب<sup>۹</sup> [۱۲] در سال ۲۰۱۲، جریان و انتقال حررات دوبعدی جابه‌جایی آزاد با تقریب بوزینسک در سیال ناهمسانگرد موجود در محفظه مملو از تخلخل با دماهای انتهایی متفاوت با استفاده از روش شبکه بولتزمن برای مدل غیردارسی مورد مطالعه قرار داده است.

جین<sup>۱۰</sup> و همکارانش [۱۳] در سال ۲۰۱۲ یک روش شبکه بولتزمن برای شبیه‌سازی سیالات مغناطیسی حساس به دما در یک محفظه متخلخل را گسترش دادند. در این شبیه‌سازی نیروی مغناطیسی، گرانش موثر، ترم اتلاف ویسکوゼیته و ترم اتلاف هندسی محیط متخلخل در معادله مومنتوم وارد شده است. وجود محیط‌های متخلخل در کاربردهای گوناگون انتقال حرارت، موجب شده است که نظر محققان به سمت هندسه‌هایی غیر از هندسه‌های ساده مربعی و سیلندری جلب شود. نمونه‌ای از این تحقیقات، تحلیل و بررسی بر روی یک محفظه انتهاباز به روش شبکه بولتزمن با الگوریتمی جدید که توسط حقشناس و همکارانش [۱۴] در سال ۲۰۱۰ انجام شده و با بررسی انتقال حرارت طبیعی صفحات گرم محیط متخلخل ذوزنقه‌ای که

توسط وارول<sup>۱۱</sup> [۱۵] در سال ۲۰۱۲ ارائه شده، اشاره کرد.

از کارهای جدیدی که می‌توان به آن به عنوان یکی از هندسه‌های جالب به کار رفته در تحقیقات اشاره کرد، کار تحقیقاتی ثروتی و همکارانش [۱۶] در سال ۲۰۱۳ می‌باشد. آنها تأثیر میدان مغناطیسی بر روی جریان جابه‌جایی اجباری نانوسيالات در کانالی که تا اندازه‌ای با میط متخلخل پر شده است را با استفاده از روش شبکه بولتزمن بررسی کرده‌اند.

کاربرد هم‌زمان نانوسيال، محیط متخلخل به همراه مرزهای منحنی کمک زیادی به تصمیم‌گیری راحت‌تر و بهتر در مورد کاربردهای صنعتی عایق‌بندی و انتقال حرارت در تهویه مطبوع و در انواع مبدل‌های حرارتی می‌کند. از این‌رو، در مطالعه

8-Azmi and Sidik

9- Habib

10-Jin

11-Varol

## ۱-۲-۲- محیط متخلخل و روش شبکه بولتزمن

با فرض سیال غیرقابل تراکم و تعادل حرارتی بین محیط متخلخل و سیال، معادلات پیوستگی، تعمیم یافته ناویر- استوکس (مدل دارسی تعمیم یافته یا برینکمن- فورچیم) و انرژی بهتری در مقیاس متوسط حجمی مطابق روابط (۱-۳) بیان می شود [۸]:

$$\nabla \cdot u = 0, \quad (1)$$

$$\partial_t u + (u \cdot \nabla) \left( \frac{u}{\varepsilon} \right) = -\frac{1}{p} \nabla (\varepsilon \rho) + v_e \nabla^2 u + F, \quad (2)$$

$$\frac{\partial T}{\partial t} + \nabla \cdot (u T) = \alpha \nabla^2 T, \quad (3)$$

که،  $\varepsilon$  تخلخل محیط،  $v_e$  ویسکوزیتیه موثر و  $\alpha$  نفوذ گرمایی می باشد.  $F$  نیروی حجمی کلی شامل نفوذ ویسکوزیتیه، اینرسی وابسته به حضور محیط متخلخل و یک نیروی خارجی می شود. با به کار گیری بسط معادله ارگون، نیروی حجمی به صورت زیر نوشته می شود:

$$F = -\frac{\nu \varepsilon}{K} u - \frac{1.75}{\sqrt{150 \varepsilon K}} |u| u + \varepsilon G, \quad (4)$$

که،  $\nu$  ویسکوزیتیه سینماتیکی،  $K$  نفوذ پذیری و  $G$  یک شناوری القایی به دلیل دمای متفاوت در دیوارهای که براساس تقریب بوزینسک به صورت  $G = \beta g_0 \theta$  می باشد.

در سال های اخیر، روش شبکه بولتزمن به یک تکنیک قدرتمند در شبیه سازی دینامیک سیالات محاسباتی تبدیل شده است. این روش براساس روش شبکه ای گاز اوتوماتا بنا شده است. در تحقیق پیش رو، با توجه به وجود دو میدان جریان و دما، در این شبیه سازی برای هریک از میدان ها یکتابع توزیع درنظر گرفته شده است. اثرات محیط متخلخل نیز به صورت یک سورس ترم وارد معادله تابع توزیع جریان خواهد شد. آرایش شبکه بولتزمن برای هر دو میدان، مدل استاندارد D2Q9 درنظر گرفته شده است.  $f$  و  $g$  به ترتیب نشان دهنده توابع توزیع جریان و دما می باشد. معادله شبکه بولتزمن با استفاده از تقریب خطی BGK با وجود نیروی خارجی برای جریان به صورت رابطه (۵) نوشته می شود [۱۸-۲۰].

$$f_i(x + c_i \Delta t, t + \Delta t) = f_i(x, t) + \frac{\Delta t}{\tau_v} [f_i^{eq}(x, t) - f_i(x, t)] + \Delta t c_i F_i \quad (5)$$

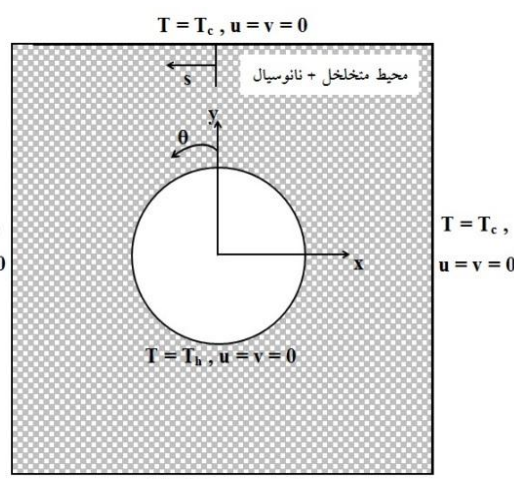
برای میدان دما داریم:

$$g_i(x + c_i \Delta t, t + \Delta t) = g_i(x, t) + \frac{\Delta t}{\tau_c} [g_i^{eq}(x, t) - g_i(x, t)], \quad (6)$$

از هندسه های تعریف شده که دارای بهترین عملکرد حرارتی براساس انتقال حرارت دیواره سرد می باشد. همچنین، به بررسی تاثیر محیط متخلخل بر روی جریان جابه جایی آزاد نانوسیال و ویژگی های انتقال حرارتی جریان پرداخته می شود و اثر پارامترهای بی بعدی همچون اعداد ریلی، دارسی، ضریب تخلخل، ناسلت و کسر حجمی نانوذرات مطالعه شده است. با توجه به نتایج به دست آمده در پژوهش حاضر می توان در کاربردهای صنعتی دارای جریان انتقال حرارت جابه جایی طبیعی مانند عایق کاری، تهویه مطبوع و مبدل های حرارتی انتخاب های بهتری برای سیستم های این صنایع داشت.

## ۲-۲- روش حل و معادلات

برای حل مسئله توصیف شده از شبیه سازی مدل دارسی تعمیم یافته برینکمن- فورچیم به روش شبکه بولتزمن استفاده شده است. در ادامه معادلات، روش حل و شرایط مرزی اعمال شده در روش شبکه بولتزمن از جمله جهش به عقب و شرط مرزی منحنی بیان می شود.



شکل (۱): نمونه ای از هندسه های مورد بررسی (هندسه تک سیلندر).

جدول (۱): خواص ترموفیزیکی سیال پایه و نانوذرات [۱۷]

سیال پایه / نانوذرات	هوای	آب	مس (Cu)
عدد پرانتل	۰/۷	۶/۲	
چگالی ( $\text{kg}/\text{m}^3$ )	۱/۲	۹۹۷/۱	۸۹۵۴
گرمایی ویژه ( $\text{J}/\text{kg.K}$ )	۱۰۰۶	۴۱۷۹	۳۸۳
رسانندگی گرمایی ( $\text{W}/\text{m.K}$ )	۰/۰۲۶	۰/۶۱۳	۴۰۰
ضریب انبساط گرمایی ( $\text{K}^{-۱}$ )	۳۴۰	۲۱	۱/۶۷
پخشندگی گرمایی ( $\text{m}^2/\text{s}$ )	۱۰ <sup>-۵</sup>		۱۱/۷

$$F_i = w_i \rho \left( 1 - \frac{1}{2\tau_v} \right) \left[ \frac{3c_i \cdot F}{c^2} + \frac{9(uF: c_i c_i)}{\varepsilon c^4} - \frac{3u \cdot F}{\varepsilon c^2} \right]. \quad (12)$$

ویسکوزیته  $\tau_v$  و نفوذ گرمایی  $\alpha$  به‌وسیله روابط زیر از طریق

زمان آسایش هیدرولیکی و گرمایی به‌دست می‌آیند:

$$\tau_v = (\tau_c - 1/2) c_s^2, \alpha = c_s^2 (\tau_c - \frac{1}{2}). \quad (13)$$

به‌دلیل مثبت‌بودن ویسکوزیته و نفوذ گرمایی همیشه  $\tau_v < 0.5$ .

خواهد بود. برای جابه‌جایی طبیعی تقریب بوزینسک به‌کاررفته و از انتقال حرارت تشعشعی صرف‌نظر شده است. برای اطمینان از کار کردن کد در بازه رژیم غیرقابل‌تراکم، سرعت مشخصه به‌صورت  $V_{natural} = (\beta g_y \Delta TL)^{0.5}$  تعریف می‌شود که باید بسیار کوچک‌تر از سرعت صوت در سیال باشد. در این پژوهش، سرعت مشخصه  $0/1$  سرعت صوت انتخاب شده است. متغیرهای بی‌بعد زیر در معادلات و ارائه نتایج مورد استفاده قرار گرفته‌اند:

$$X = \frac{x}{L}, Y = \frac{y}{L}, U = \frac{uL}{v}, V = \frac{vL}{v}, \theta = \frac{T - T_c}{T_h - T_c}. \quad (14)$$

پارامترهای بی‌بعد ورودی و خروجی تعریف شده از جمله عدد رایلی، دارسی و ناسلت محلی و میانگین به‌صورت زیر می‌باشند:  $Ra = \frac{\beta g_y L^3 (T_h - T_c)}{v \alpha}, Da = \frac{K}{L^2}, Nu_{loc} = \frac{k_{nf}}{k_f} \frac{\partial T}{\partial r}, Nu_{ave} = \frac{1}{L} \int_0^L Nu_{loc} dy.$  (15)

## ۲-۲-۲- مدل به کار گرفته‌شده برای شبیه‌سازی نانوسیال

با درنظر گرفتن شروط فیزیکی تعادل گرمایی، عدم وجود لغزش بین نانوذرات و سیال پایه و همچنین، به اندازه کافی کوچک‌بودن ذرات نانو، می‌توان نانوسیال را به‌صورت سیال خالص در نظر گرفت. با بررسی مدل‌های ارائه‌شده برای شبیه‌سازی نانوسیالات و با توجه به شرایط فیزیکی مدنظر، جریان نانوسیال را به‌صورت یک جریان نانوفلuidیک شبیه‌سازی می‌کنیم. از ویژگی‌های این نوع برخورده، درنظر گرفتن جریان نانوسیال به‌صورت یک سیال خالص که خواص فیزیکی آن از ترکیب خواص سیال پایه و نانوذرات از طریق روابط جبری به‌دست می‌آیند، می‌باشد. تنها محدودیت این نوع شبیه‌سازی صحت روابط ارائه‌شده برای کسر حجمی پایین نانوذرات (حدوداً پایین‌تر از ۱۰ درصد) می‌باشد. در این نوع برخورده، خواص

که در آن،  $\Delta t$  بیانگر گام زمانی شبکه،  $c_i$  سرعت گسسته در جهت  $i$ ،  $F_i$  نیروی خارجی در جهت سرعت شبکه،  $\tau_v$  و  $\tau_c$  بیانگر زمان آسایش برای میدان جریان و دما می‌باشند. کمیت‌های ماکروسکوپی، چگالی و دما به صورت  $f_i = \rho = \sum g_i$  تعریف می‌شوند. سرعت سیال  $u$  با استفاده از سرعت زمانی  $V$  برای درنظر گرفتن تاثیر محیط متخلخل به‌صورت زیر محاسبه می‌شود [۸]:

$$u = \frac{V}{c_0 + \sqrt{c_0^2 + c_1 |V|}}, \quad (7)$$

$$V = \sum_i \frac{c_i f_i}{\rho} + \frac{\varepsilon G}{2},$$

$$c_0 = \frac{1}{2} \left( 1 + \varepsilon \frac{V}{2K} \right),$$

$$c_1 = \varepsilon \frac{1.75}{2\sqrt{150\varepsilon^3 K}}.$$

تابع توزیع تعادلی  $f_i^{eq}$  برای مدل D2Q9 در حضور محیط متخلخل به‌صورت زیر تعریف می‌شود:

$$f_i^{eq} = w_i \left[ 1 + \frac{c_i \cdot u}{c_s^2} + \frac{1}{2} \frac{(c_i \cdot u)^2}{\varepsilon c_s^4} - \frac{u^2}{2\varepsilon c_s^2} \right]. \quad (8)$$

به‌طور مشابه برای تابع توزیع تعادلی برای توزیع انرژی گرمایی  $g_i^{eq}$  می‌توان نوشت [۲۰]:

$$g_i^{eq} = w_i T \left[ 1 + \frac{c_i \cdot u}{c_s^2} \right], \quad (9)$$

که،  $w_i$  ضریب وزنی،  $c_i$  سرعت گسسته در جهت  $i$ ،  $T$  فواصل مکانی شبکه و  $c_s$  سرعت صوت می‌باشد، که برابر است با:  $c_s = c/\sqrt{3}$ . برای D2Q9، سرعت‌های گسسته و ضرایب وزنی به ترتیب طبق روابط (۱۰-۱۱) تعریف می‌شود [۲۱].

$$c_0 = 0$$

$$c_i = c \left( \cos \left( \frac{(i-1)\pi}{2} \right), \sin \left( \frac{(i-1)\pi}{2} \right) \right) \quad i = 1-4$$

$$c_i = \sqrt{2} c \left( \cos \left( \frac{(i-5)\pi}{2} + \pi/4 \right), \sin \left( \frac{(i-5)\pi}{2} + \pi/4 \right) \right) \quad i = 5-8 \quad (10)$$

$$w_i = \begin{cases} 4/9 & i = 0 \\ 1/9 & i = 1, 2, 3, 4 \\ 1/36 & i = 5, 6, 7, 8 \end{cases} \quad (11)$$

یک انتخاب مناسب برای ترم نیروی حجمی  $F_i$  برای رسیدن به یک معادله هیدرولیکی صحیح به‌صورت معادله (۱۲) می‌باشد [۸]:

$$\begin{aligned} f_4 &= f_2, \\ f_7 &= f_5, \\ f_8 &= f_6. \end{aligned} \quad (21)$$

در مورد تابع توزیع دما نحوه اعمال شرایط مرزی بهدلیل دمای ثابت بر روی دیواره متفاوت است [۲۱]. بنابراین داریم:

$$\begin{aligned} g_4 &= w_4 T_c - g_2, \\ g_7 &= w_7 T_c - g_5, \\ g_8 &= w_8 T_c - g_6. \end{aligned} \quad (22)$$

برای سایر دیوارهای نیز به همین ترتیب شرط مرزی جهش به عقب اعمال می‌شود، با این تفاوت که اندیس تابع توزیع بر حسب جریان و افقی (عمودی) بودن دیواره تغییر می‌کند.

در مورد اعمال شرایط مرزی جهش به عقب برای مرز منحنی یک روش دقت مرتبه دو به کار گرفته شده است. با توجه به هندسه موردنظر از میان تمام گره‌های موجود در بخش جامد تنها گره‌های مجاور مرز منحنی در تحلیل جریان موثر می‌باشد. این گره‌ها در این مقاله به عنوان گره‌های مرزی نامیده و پارامترهای مربوط به آنها با زیرنویس  $b$  مشخص می‌شوند. توابع توزیع در گره‌های مرزی باید به گونه‌ای تعیین شوند که نتیجه شبیه‌سازی شرایط مورد نظر روی مرز منحنی باشد.

شکل ۳ نشان‌دهنده رفتار بروی مرزی منحنی می‌باشد.

نقاط سیاه در ناحیه جامد بیانگر گره‌های ترتیب با  $x_f$  و  $x_b$  نمایش داده می‌شوند. به کارگیری نقطه دوم در سیال باعث دقت مرتبه دوم می‌شود. همچنین نقاط خاکستری بر روی مرز منحنی  $x_w$  نشان‌دهنده نقطه برخورد مرز منحنی با خطوط سرعت شبکه D2Q9 می‌باشد. خاصیت ماکروسکوپیک مورد نظر در مرز منحنی به وسیله این گره‌ها برونوی باشید. کسر تقاطع خطوط در ناحیه سیال  $\Delta$  به صورت زیر تعریف می‌شود:

$$\Delta = \frac{|x_f - x_w|}{|x_f - x_b|}. \quad (23)$$

نتیجه کسر یعنی اندازه  $\Delta$  کوچکتر از یک خواهد بود. در مرحله برخورد، تابع توزیع در سمت سیال مشخص خواهد بود، اما تابع توزیع سمت جامد در خلاف جهت تابع توزیع سمت سیال مشخص نیست. به عبارت دیگر بعد از پایان مرحله جریان ما نیاز به دانستن تابع توزیع در نقطه مرزی  $x_b$  داریم. با مشخص شدن  $\Delta$  و حدود آن از روابطی که در مطالعه [۲] و

فیزیکی نانوسیال از قبیل چگالی، ظرفیت گرمایی و ضریب انبساط حجمی به ترتیب از طریق روابط ۱۶-۱۸ به دست می‌آید [۲۲-۲۳]:

$$\rho_{nf} = (1 - \varphi)\rho_f + \varphi\rho_s, \quad (24)$$

$$(\rho c_p)_{nf} = (1 - \varphi)(\rho c_p)_f + \varphi(\rho c_p)_s, \quad (25)$$

$$(\rho\beta)_{nf} = (1 - \varphi)(\rho\beta)_f + \varphi(\rho\beta)_s, \quad (26)$$

که در آن،  $\varphi$  کسر حجمی نانوذرات و زیرنویس‌های  $f$  و  $s$  به ترتیب برای سیال پایه و نانوذرات می‌باشد. ویسکوزیته این نوع از نانوسیالات را که شامل ذرات کروی کوچک صلب به صورت رقیق معلق می‌باشد، از طریق رابطه (۱۹) که معروف به رابطه برینکمن می‌باشد، به دست می‌آورند [۲۴-۲۵].

$$\mu_{eff} = \frac{\mu_f}{(1 - \varphi)^{2.5}} \quad (19)$$

روابط متعددی برای محاسبه ضریب رسانشی حرارتی نانوسیال ارائه شده‌اند. در این پژوهش با توجه به کمبودن درصد حجمی نانوذرات و با درنظر گرفتن شکل کروی و اندازه یکسان برای این ذرات، ضریب رسانش حرارتی نانوسیال با استفاده از تقریب ماسکول به صورت رابطه (۲۰) بیان می‌شود [۲۵].

$$\frac{k_{nf}}{k_f} = \frac{k_s + 2k_f - 2\varphi(k_f - k_s)}{k_s + 2k_f + \varphi(k_f - k_s)} \quad (20)$$

### ۲-۲-۳- نحوه اعمال شرایط مرزی فیزیکی در روش شبکه بولتزمن

جهت مدل کردن شرایط مرزی جامد ثابت که در هندسه مسئله تعریف شده وجود دارد، عدم لغزش و جریان اطراف موانع از روش جهش به عقب استفاده می‌شود [۲۱]. این نام‌گذاری حاکی از آن می‌باشد که یک ذره از سمت مرز جامد به سمت میدان جریان می‌رود. با درنظر گرفتن جریان جابه‌جایی طبیعی داخل محفظه، شرط مرزی جهش به عقب را می‌توان برای دیوارهای محفوظه هندسه توصیف شده در مورد هر تابع توزیع جریان اعمال کرد. در حل عددی روش شبکه بولتزمن اجرای دو مرحله جریان و برخورد از اصول ابتدای می‌باشد. اعمال شرایط مرزی جهش به عقب بعد از مرحله جریان صورت می‌گیرد. در شکل ۲ دیواره بالایی محفوظه سرد بعد از مرحله جریان نشان داده شده است. حال با مشخص بودن  $f_2$ ,  $f_5$  و  $f_6$  و با توجه به ساکن بودن مرزهای جامد برای تابع توزیع جریان خواهیم داشت:

آمده، ذکر شده است. همان‌طور که از اطلاعات جداول ۲-۴ با توجه به روند تغییرات عدد ناسلت میانگین با افزایش اندازه شبکه برای هریک از اجزای هندسه‌ها، شبکه با تراکم  $180 \times 180$  برای هر سه هندسه تعریف شده، یعنی محفظه بیرونی سرد با تک‌سیلندره، سه‌سیلندر و چهارسیلندر داخلی گرم، شبکه مناسبی خواهد بود و در شبکه‌های ریزتر نتایج محاسبات انجام شده با دقت خوبی مستقل از شبکه انتخابی می‌باشد.

جدول (۲): بررسی استقلال شبکه برای هندسه شامل تک‌سیلندر داخلی گرم.

ناسلت میانگین سطح سیلندر گرم	ناسلت میانگین محفظه سرد	سایز شبکه
۹/۹۹۳۹	۲/۶۰۱۸	۱۴۰*۱۴۰
۱۰/۰۲۵۰	۲/۶۰۰۵	۱۶۰*۱۶۰
۱۰/۰۶۷۴	۲/۵۹۸۹	۱۸۰*۱۸۰
۱۰/۰۶۵۴	۲/۵۹۸۳	۲۰۰*۲۰۰

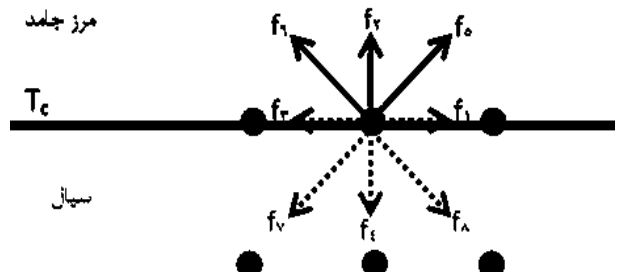
جدول (۳): بررسی استقلال شبکه برای هندسه شامل سه‌سیلندر داخلی گرم.

ناسلت میانگین سطح سیلندر گرم			ناسلت میانگین محفظه سرد	سایز شبکه
پایین	بالا راست	بالا چپ		
۵/۵۲۹۷	۲/۹۱۶۵	۲/۹۱۷۵	۳/۱۹۰۱	۱۴۰*۱۴۰
۵/۶۴۱۳	۲/۹۷۱۴	۲/۹۷۱۵	۳/۱۸۷۵	۱۶۰*۱۶۰
۵/۷۵۲۳	۳/۰۰۷۴	۳/۰۰۸۴	۳/۱۸۴۶	۱۸۰*۱۸۰
۵/۷۵۵۳	۳/۰۰۷۳	۳/۰۰۸۵	۳/۱۸۳۹	۲۰۰*۲۰۰

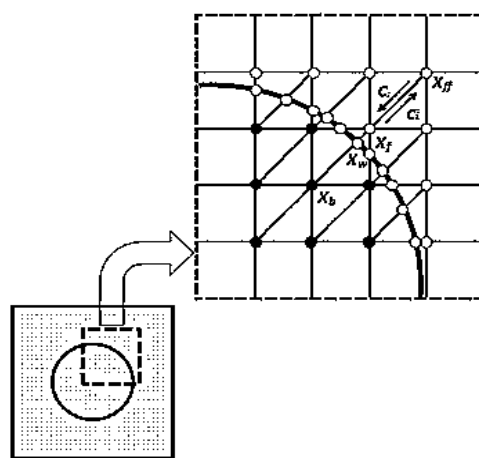
جدول (۴): بررسی استقلال شبکه برای هندسه شامل چهارسیلندر داخلی گرم.

ناسلت میانگین سطح سیلندر گرم					ناسلت میانگین محفظه سرد	سایز شبکه
پایین راست	پایین چپ	بالا راست	بالا چپ			
۴/۰۵۰	۴/۰۳۷	۱/۶۶۵	۱/۶۶۸	۳/۲۹۹۱	۱۴۰*۱۴۰	
۴/۰۸۲	۴/۰۷۱	۱/۶۸۶	۱/۶۸۹	۳/۲۹۷۱	۱۶۰*۱۶۰	
۴/۱۶۵	۴/۱۵۶	۱/۷۱۱	۱/۷۱۴	۳/۲۹۴۷	۱۸۰*۱۸۰	
۴/۲۰۲	۴/۱۹۳	۱/۷۲۸	۱/۷۳۰	۳/۲۹۴۱	۲۰۰*۲۰۰	

همکارانش [۲۶] برای تعیینتابع توزیع جریان و دما استفاده شده است.



شکل (۲): نحوه اعمال شرط مرزی بر روی دیواره بالای محفظه سرد.



شکل (۳): آرایش شبکه اطراف مرز منحنی.

### ۳-۲-مطالعه شبکه و یافتن شبکه بهینه

برای انجام حل شبکه بولتزمن توصیف شده، استقلال شبکه کدام پیوستی نوشته شده در زبان برنامه‌نویسی فرتون به وسیله مقایسه عدد ناسلت میانگین روی دیواره محفظه بیرونی سرد که پارامتر نهایی بررسی رفتار انتقال حرارتی هندسه‌های تعریف شده می‌باشد و همچنین، عدد ناسلت میانگین سیلندرهای داخلی گرم برای شبکه‌های  $140 \times 140$ ,  $160 \times 160$ ,  $180 \times 180$ ,  $200 \times 200$  و  $220 \times 220$  بررسی شده است. برای نمایش استقلال حل از شبکه انتخابی، جریان جابه‌جایی طبیعی در محیط متخلخل همگن با ضریب تخلخل  $= 4/0.0$  و عدد دارسی  $Da = 10^5$  در رایلی  $Ra = 2 \times 10^5$  و کسر حجمی  $5$  درصد برای حضور نانوذرات در جریان نانوسیال انتخاب شده است. دلیل این انتخاب حضور تمامی پارامترهای موثر جریان در تعیین اندازه شبکه می‌باشد. نانوسیال انتخابی همان نانوسیال آب-مس می‌باشد، که خصوصیت ترموفیزیکی آن در جدول ۱

#### ۴-۲- صحبت‌سنگی

هندسه‌های مطرح شده در بخش بیان مسئله طی اشکال و جداول مختلف پرداخته شده است. هدف بررسی تاثیر پارامترهای موثر از قبیل عدد رایلی، ضریب تخلخل محیط متخلخل و عدد دارسی بر روی ماهیت و عملکرد جریان جابه‌جایی طبیعی و همچنین، تاثیر کسر حجمی بر روی انتقال حرارت این جریان می‌باشد. در شکل ۸، کانتورهای خطوط جریان و هم‌دما که به‌دلیل ماهیت متقارن هندسه و جریان نسبت به خط عمودی گذرنده از مرکز محفظه به صورت ترکیبی (سمت راست خطوط جریان و سمت چپ خطوط هم‌دما) برای نانوسیال آب-مس با کسر حجمی ۵ درصد در اعداد رایلی  $10^4$  و  $10^5$  و ضرایب تخلخل  $0/4$ ،  $0/6$  و  $0/9$  و عدد دارسی  $0/01$  در هندسه شامل تک‌سیلندر، ارائه شده است. هدف از مقایسه موارد موجود در شکل ۷ بررسی تاثیر افزایش عدد رایلی (شدت جابه‌جایی طبیعی) و افزایش ضریب تخلخل (کاهش اثرات محیط متخلخل) می‌باشد. با افزایش عدد رایلی، باتوجه به الگوی خطوط جریان، چرخش سیال تحت تاثیر قرار می‌گیرد و بیش‌تر به بالای محفظه متمایل می‌شود. همچنین، تراکم خطوط نشان می‌دهد با افزایش عدد رایلی، شدت جریان بیش‌تر شده و جابه‌جایی طبیعی بهبود می‌یابد. در مورد خطوط هم‌دما مشاهده می‌شود با افزایش عدد رایلی خطوط از حالت تقارن نسبی خود خارج شده و گرادیان‌های متفاوت دمایی در نقاط مختلف جریان مخصوصاً در بالا و پایین سیلندر ظاهر می‌شود. این مشاهده نیز تاییدی بر افزایش شدت جابه‌جایی طبیعی با افزایش عدد رایلی می‌باشد. افزایش ضریب تخلخل در الگوی خطوط هم‌دما و جریان تاثیر مشابه افزایش عدد رایلی بر شکل و شدت این خطوط می‌گذارد اما این تاثیر به اندازه افزایش عدد رایلی نمی‌باشد. دلیل این امر از کم‌ترشدن مقاومت محيط متخلخل در برابر جریان می‌باشد. این مشاهدات به‌طور مشابه در مورد دو هندسه دیگر نیز قابل استخراج می‌باشد. در شکل ۹ کانتورهای خطوط جریان و هم‌دما به صورت ترکیبی (سمت راست خطوط جریان و سمت چپ خطوط هم‌دما) برای نانوسیال آب-مس با کسر حجمی ۵ درصد در عدد رایلی  $10^5$ ، ضریب تخلخل  $0/4$  و عدد دارسی  $0/01$  برای هر سه ارائه شده است. هدف از مقایسه موارد موجود در شکل ۸ بررسی تاثیر تعداد و آرایش سیلندرها بر روی الگوی خطوط جریان و هم‌دما می‌باشد. با مقایسه خطوط جریان می‌توان نتیجه گرفت که، با افزایش تعداد سیلندرها از یکی به تعداد بیش‌تر قطعاً شدت جریان هم‌رفت بیش‌تر خواهد شد و خطوط جریان فضای

برای اطمینان از صحبت نتایج به دست آمده از روش حل ارائه شده برای جریان جابه‌جایی طبیعی موردنظر باید آنها را با حل‌های عددی معتبر در زمینه‌های موردنظر مقایسه شود. از این‌رو برای هر پارامتر موثر در جریان جابه‌جایی طبیعی در هندسه تعریف شده با منبعی معتبر در این زمینه مقایسه انجام شده است. مطابق شکل ۴ مقایسه عدد ناسلت میانگین محاسبه شده با نتایج حل عددی خانافر [۲۲] برای کاربرد کسر حجمی‌های مختلف نانوسیال آب-مس در یک کویتی ساده نشان‌دهنده عملکرد قابل قبول کد پیش رو می‌باشد. بیشینه اختلاف  $5/5$  درصد در کسر حجمی  $6$  درصد اتفاق می‌افتد. بنابراین، مدل ارائه شده در این کد برای مدل‌کردن نانوسیال در کسر حجمی‌های پایین‌تر از  $5$  درصد نتایج قابل قبولی را ارائه می‌دهد.

برای اطلاع از نحوه عملکرد کد ایجاد شده در اعمال محیط متخلخل همگن نتایج عدد ناسلت میانگین با دو منبع معتبر ستا<sup>۱۳</sup> [۸] و نیتیاراسو<sup>۱۴</sup> [۵] بر حسب ضرایب تخلخل و اعداد رایلی مختلف در شکل ۵ مقایسه شده است. ماکریم خطا<sup>۱۵</sup> حدود  $2/5$  درصد نشان‌دهنده راندمان محاسباتی خوبی برای محیط متخلخل همگن مدل شده به شیوه روش شبکه بولتزمن به کار گرفته شده در کد پیش رو می‌باشد.

یکی از منابع ایجاد خطای در حل‌های عددی، وجود مرز منحنی و نحوه اعمال آن می‌باشد. بنابراین، در شکل ۶ هندسه یکی از منابع معتبر در این زمینه یعنی حل عددی موکالد و آچاریا<sup>۱۶</sup> [۶] با کد حاضر شبیه‌سازی و مقایسه شده است. با درنظر گرفتن اعداد رایلی  $10^4$ ،  $10^5$  و  $10^6$  و نسبت‌های شعاع داخلی به طول ضلع محفظه خارجی ( $R/L$ )  $0/1$ ،  $0/2$  و  $0/3$ ، عدد ناسلت میانگین حول سیلندر داخلی گرم در بیش‌ترین حالت تا  $8$  درصد اختلاف دارد. این اختلاف در حل‌های عدد قابل قبول می‌باشد و درنتیجه می‌توان به صحبت نتایج در این زمینه اطمینان کرد.

#### ۳- نتایج و بحث

با انجام صحبت‌سنگی در مورد روش حل کد کامپیوتری حاضر با منابع معتبر و حصول اطمینان از دقت نتایج به دست آمده از طریق کد، در این بخش به ارائه نتایج مربوط به شبیه‌سازی

13-Seta

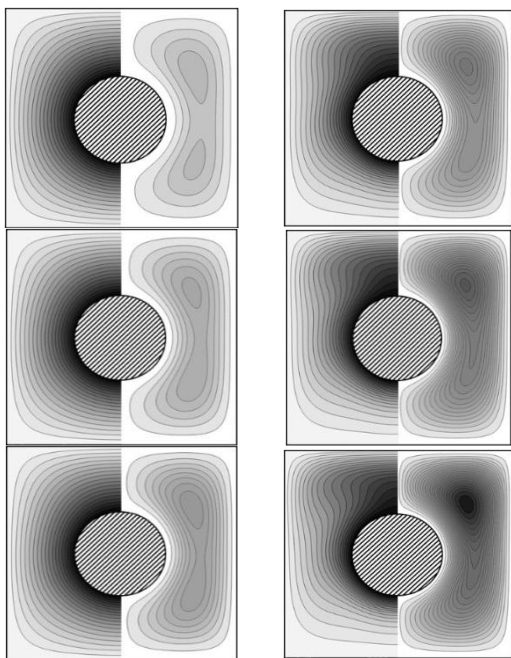
14-Nithiarasu

15-Moukalled and Acharya

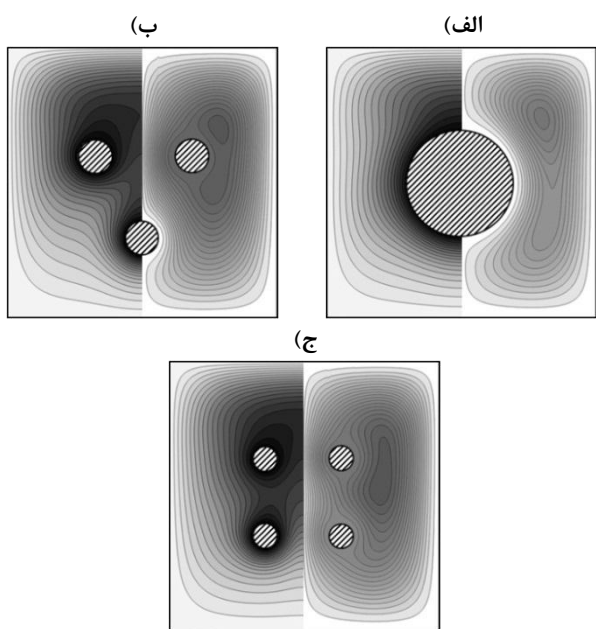
طبیعی از سیلندر سطح گرم به دیواره محفظه سرد در برگیرنده آن مطرح باشد (با معیار عدد ناسلت میانگین دیواره محفظه سرد)، استفاده از چند سیلندر با سطح گرم با شعاع‌های متفاوت از سیلندر اولیه به جای تک‌سیلندر با شرط برابری مساحت انتقال حرارت مجموع سطوح گرم در هندسه‌های مختلف، انتخابی معمول به نظر می‌رسد. البته لازم به توضیح است که امکان تاثیرگذاری آرایش قرارگرفتن سیلندرهای گرم بر نحوه جریان جابه‌جایی طبیعی و انتقال حرارت آن وجود دارد. مطلب اخیر خارج از بحث این مطالعه می‌باشد و نتیجه بیان شده براساس هندسه‌های توصیف شده در مسئله استخراج شده است. در جدول ۶ نحوه تاثیر ضریب تخلخل بر عدد ناسلت میانگین دیواره محفظه سرد در اعداد رایلی  $10^4$  و  $10^5$  در جریان نانوسیال آب-مس با کسر حجمی ۵ درصد برای هر سه هندسه بررسی شده است. همان‌طور که در توضیح جدول ۵ بیان شد، در ضریب تخلخل و عدد دارسی ثابت در تمام هندسه‌ها با افزایش عدد رایلی مقدار عدد ناسلت میانگین دیواره محفظه سرد افزایش می‌یابد. در اعداد دارسی و رایلی ثابت با افزایش ضریب تخلخل مقدار عدد ناسلت میانگین دیواره محفظه سرد افزایش می‌یابد. هرچه ضریب تخلخل افزایش یابد، در واقع اثرات محیط متخلخل بروی جریان جابه‌جایی طبیعی کاهش می‌یابد و مقاومت در برابر جریان نانوسیال کاهش و انتقال حرارت افزایش می‌یابد. در انتخاب بهترین عملکرد حرارتی در بین هندسه‌های موجود ضریب تخلخل نقشی ندارد و باید به عدد رایلی توجه شود. در عدد رایلی  $10^4$  هندسه شامل سه‌سیلندر دارای عدد ناسلت میانگین بالاتری می‌باشد و پس از آن به ترتیب هندسه‌های شامل چهارسیلندر و تک‌سیلندر قرار دارند. در عدد رایلی  $10^5$  در تمامی ضرایب تخلخل، عدد ناسلت میانگین دیواره محفظه سرد به ترتیب در هندسه شامل چهارسیلندر و تک‌سیلندر بیشترین و کمترین مقدار می‌باشد. نتیجه بیان شده در توضیح جدول ۵ در مورد انتخاب هندسه دارای پایین‌ترین عملکرد حرارتی بر حسب عدد ناسلت میانگین دیواره محفظه در مورد جدول ۶ نیز صادق می‌باشد و هندسه شامل تک‌سیلندر بدترین عملکرد را دارا می‌باشد. جهت بررسی تاثیر به کارگیری نانوسیال آب-مس با کسر حجمی بروی انتقال حرارت از هندسه‌های دارای بهترین عملکرد حرارتی استفاده و نتایج آن در ادامه طبق جدول ۷-۸ ارائه شده است. دلیل این انتخاب نمایش بهتر تاثیر کسر حجمی نانوذرات بروی انتقال حرارت می‌باشد. در حالت کلی با

بیشتری را دربر خواهند گرفت. از طرفی با افزایش تعداد سیلندرها مرکز گردابه‌ها به سمت خط مرکزی افقی گذرنده از مرکز کویتی کشیده می‌شوند. در مورد خطوط هم‌دمای نیز می‌توان به این نکته اشاره کرد که با افزایش تعداد سیلندرها، گرادیان‌های دمایی از حالت تقریباً یکنواخت خود که از سطح سیلندر تا محفظه ادامه می‌یابد، این یکنواختی را از دست داده و بر حسب آرایش و تعداد سیلندرها مقادیر متفاوتی در نقاط مختلف جریان دارند. این امر از عوامل شدت یافتن جریان جابه‌جایی طبیعی می‌باشد.

به دلیل تفاوت ظاهری هندسه‌های مورد بررسی، برای مقایسه عملکرد حرارتی این هندسه‌ها و نحوه تاثیر اعداد رایلی، دارسی و ضریب تخلخل بر آن تنها معیار عدد ناسلت دیواره سرد محفظه بیرونی می‌باشد. در جدول ۵ نحوه تاثیر عدد دارسی بر عدد ناسلت میانگین دیواره محفظه سرد در اعداد رایلی  $10^4$  و  $10^5$  در جریان نانوسیال آب-مس با کسر حجمی ۵ درصد برای هر سه هندسه بررسی شده است. در ضریب تخلخل و عدد دارسی ثابت در تمام هندسه‌ها با افزایش عدد رایلی مقدار عدد ناسلت میانگین دیواره محفظه سرد افزایش می‌یابد. در ضریب تخلخل و عدد رایلی ثابت با کاهش عدد دارسی مقدار عدد ناسلت میانگین دیواره محفظه سرد کاهش می‌یابد. دلیل این کاهش، طبق تعریف عدد دارسی در رابطه (۱۴) تناسب مستقیمی بین عدد دارسی با نفوذپذیری در محیط متخلخل همگن برقرار می‌باشد. بنابراین، با کاهش عدد دارسی به طور حتم، نفوذپذیری در محیط متخلخل همگن باعث کاهش عملکرد حرارتی جریان جابه‌جایی طبیعی می‌شود. در عدد رایلی  $10^4$  به طور قطع بر حسب مقدار عدد ناسلت میانگین دیواره محفظه سرد، بهترین عملکرد حرارتی در هندسه شامل سه سیلندر رخ می‌دهد. بعد از آن، هندسه شامل چهارسیلندر و درنهایت هندسه شامل تک‌سیلندر قرار می‌گیرند. با بالارفتن رایلی در مورد انتخاب هندسه دارای عملکرد بهینه حرارتی باید بر طبق عدد دارسی اظهار نظر کرد. در عدد دارسی کوچک‌تر هندسه شامل سه‌سیلندر و در عدد دارسی  $10^4$  هندسه شامل چهارسیلندر دارای عملکرد حرارتی بهتری می‌باشند. نکته قابل توجه در این مقایسه بدون درنظر گرفتن مقدار اعداد رایلی و دارسی هندسه شامل تک‌سیلندر به طور حتم، کمترین مقدار عدد ناسلت میانگین را دارد. بنابراین اگر در هندسه‌ای هدف انتقال حرارت جابه‌جایی

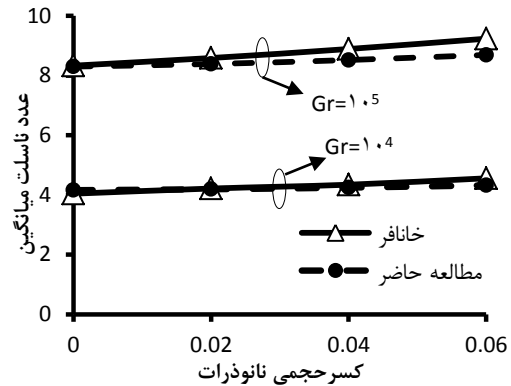


شکل (۷): تاثیر عدد رایلی و ضریب تخلخل بر روی کانتور خطوط جریان و همدم (سمت راست خطوط جریان و سمت چپ خطوط همدم).

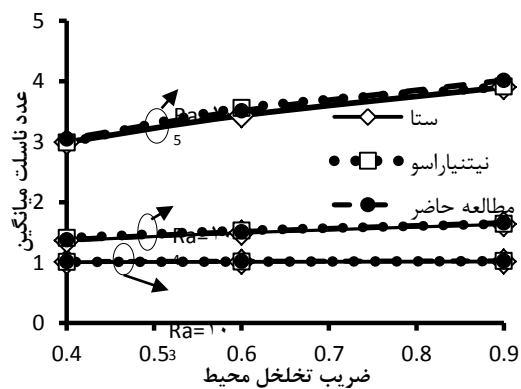


شکل (۸): تاثیر هندسه‌های مختلف بر روی کانتور خطوط جریان و همدم (سمت راست خطوط جریان و سمت چپ خطوط همدم) شامل، (الف) تک سیلندر داخلی گرم، (ب) سه سیلندر داخلی گرم، (ج) چهار سیلندر داخلی گرم.

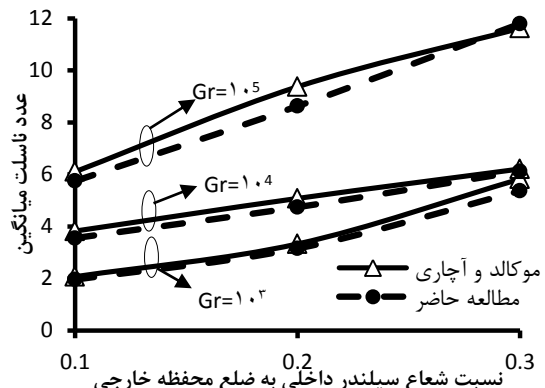
به کارگیری محیط متخلف در جریان جابه‌جایی طبیعی، انتقال حرارت حرارت جابه‌جایی کاهش می‌یابد. این کاهش به‌طور مستقیم با کاهش ضریب تخلخل محیط و عدد دارسی رابطه دارد. از طرفی، بررسی داده‌های جداول ۵-۶ نتیجه می‌دهد که افزایش عدد رایلی نسبت به افزایش عدد دارسی و ضریب تخلخل اثر بیشتری بر روی افزایش انتقال حرارت دارد.



شکل (۴): مقایسه عدد ناسلت میانگین محاسبه شده و نتایج حل عددی خانافر.



شکل (۵): مقایسه عدد ناسلت میانگین محاسبه شده و نتایج حل عددی ستا و نیتیمارسو.



شکل (۶): مقایسه عدد ناسلت میانگین محاسبه شده و نتایج حل عددی موکالد و آچاریا.

$$Ra = 10^4 \quad Ra = 10^5$$

جدول نیز صادق می‌باشد. به عبارت دیگر با افزایش کسر حجمی نانوذرات عدد ناسلت میانگین افزایش می‌یابد و این افزایش به صورت صعودی خواهد بود، نه با شبیث ثابت. در مقایسه اعداد جداول ۷-۸ در رایلی  $10^4$  می‌توان نتیجه گرفت که درصد افزایش عدد ناسلت میانگین با افزایش کسر حجمی نانوذرات تاثیر زیادی از هندسه نمی‌پذیرد. در جدول ۸ همچنین، مقادیر عدد ناسلت میانگین در اعداد مختلف رایلی برای هندسه شامل چهارسیلندر مقایسه شده است. این مقایسه، بیانگر بیشتر بودن درصد افزایش عدد ناسلت میانگین با افزایش کسر حجمی نانوسیال در عدد رایلی پایین‌تر می‌باشد.

**جدول (۷):** تاثیر کسر حجمی نانوذرات بر روی عدد ناسلت میانگین دیواره محفظه سرد در ضریب تخلخل  $4/4=0.04$  و رایلی  $10^4$  در هندسه شامل سه‌سیلندر.

میزان افزایش عدد ناسلت نسبت به سیال پایه(%)	عدد ناسلت میانگین دیواره سرد محفظه سرد	کسر حجمی نانوذرات
.	۱/۶۹۶۳	.
۳/۰۲	۱/۷۴۷۵	۰/۰۱
۹/۲۳	۱/۸۵۲۹	۰/۰۳
۱۵/۷۰	۱/۹۶۲۷	۰/۰۵

**جدول (۸):** تاثیر کسر حجمی نانوذرات بر روی عدد ناسلت میانگین دیواره محفظه سرد در ضریب تخلخل  $4/4=0.04$  در هندسه شامل چهارسیلندر.

میزان افزایش عدد ناسلت نسبت به سیال پایه(%)	عدد ناسلت میانگین دیواره سرد محفظه سرد	کسر حجمی نانوذرات	عدد رایلی
.	۱/۶۷۹۹	.	$10^4$
۳/۰۱	۱/۷۳۰۵	۰/۰۱	$10^4$
۹/۲۳	۱/۸۳۴۹	۰/۰۳	$10^4$
۱۵/۷۰	۱/۹۴۳۶	۰/۰۵	$10^4$
.	۲/۳۹۶۵	.	$10^5$
۲/۹۰	۲/۴۶۶۱	۰/۰۱	$10^5$
۸/۸۸	۲/۶۰۹۳	۰/۰۳	$10^5$
۱۵/۱۰	۲/۷۵۸۴	۰/۰۵	$10^5$

شکل ۹ نشان‌دهنده روند افزایش عدد ناسلت میانگین در دیواره سرد محفظه و حول سیلندرهای گرم داخلی بر حسب افزایش کسر حجمی نانوذرات در هندسه‌های شامل سه‌سیلندر و

**جدول (۵):** تاثیر اعداد رایلی و دارسی بر روی عدد ناسلت میانگین دیواره محفظه سرد در ضریب تخلخل  $4/4=0.04$ .

عدد رایلی	عدد دارسی	عدد رایلی	عدد دارسی
چهارسیلندر	سه‌سیلندر	تسکسیلندر	تسکسیلندر
۱/۹۴۳۶	۱/۹۶۲۷	۱/۸۶۵۸	$10^{-2}$
۱/۹۱۸۱	۱/۹۳۵۹	۱/۸۶۱۷	$10^{-4}$
۲/۷۵۸۴	۲/۷۳۵۵	۲/۱۷۲۳	$10^{-2}$
۱/۹۲۸۱	۱/۹۴۴۲	۱/۸۶۴۵	$10^{-4}$

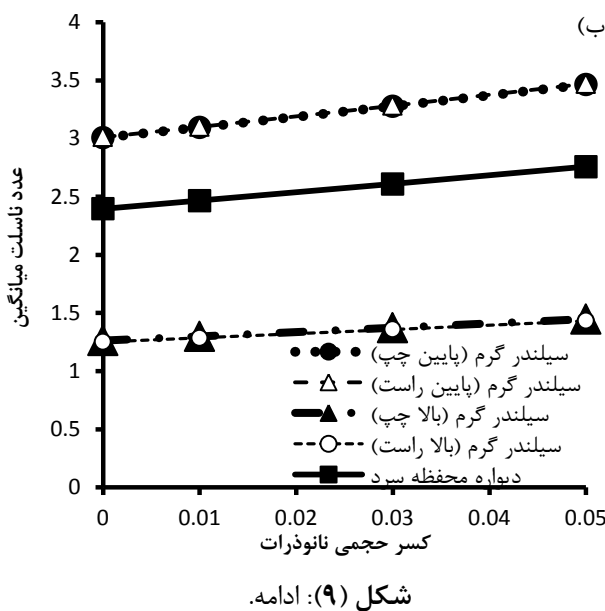
**جدول (۶):** تاثیر عدد رایلی و ضریب تخلخل بر روی عدد

ناسلت میانگین دیواره محفظه سرد در عدد دارسی  $Da=0.01$ .

عدد رایلی	ضریب تخلخل	عدد رایلی	ضریب تخلخل	عدد رایلی	ضریب تخلخل
چهارسیلندر	سه‌سیلندر	تسکسیلندر	تسکسیلندر	چهارسیلندر	سه‌سیلندر
۱/۹۴۳۶	۱/۹۶۲۷	۱/۸۶۵۸	۰/۴	$10^4$	
۱/۹۶۶۳	۱/۹۸۶۵	۱/۸۷۰۲	۰/۶	$10^4$	
۲/۰۰۳۳	۲/۰۲۴۵	۱/۸۷۸۲	۰/۹	$10^4$	
۲/۷۵۸۴	۲/۷۳۵۵	۲/۱۷۲۳	۰/۴	$10^5$	
۳/۰۳۴۹	۲/۹۶۴۴	۲/۳۷۴۴	۰/۶	$10^5$	
۳/۳۲۶۱	۳/۲۰۲۶	۲/۶۲۶۸	۰/۹	$10^5$	

در جدول ۷ نحوه تاثیر کسر حجمی نانوذرات بر روی عدد ناسلت میانگین دیواره سرد محفظه در عدد رایلی  $10^4$  و ضریب تخلخل  $4/4=0.04$  بر روی هندسه شامل سه‌سیلندر بررسی شده است. با افزایش کسر حجمی نانوذرات عدد ناسلت میانگین دیواره سرد محفظه افزایش می‌یابد. با توجه به درصد افزایش عدد ناسلت میانگین در کسر حجمی‌های مختلف نسبت به سیال پایه، روند افزایش عدد ناسلت صعودی می‌باشد و شبیث ثابتی برای افزایش در تمام کسر حجمی‌ها وجود ندارد. به طور مثال، اگر این شبیث ثابت باشد، درصد افزایش عدد ناسلت میانگین در کسر حجمی‌های ۳ و ۵ درصد بر حسب روند افزایش در ۱ درصد باید به ترتیب  $9/0.4$  و  $15/0.7$  باشد. اما همان‌گونه که مشاهده می‌شود، درصد افزایش عدد ناسلت میانگین از این مقادیر بیشتر می‌باشد. بنابراین روند تغییرات عملکرد حرارتی جریان جابه‌جایی طبیعی نانوسیال با افزایش کسر حجمی نانوذرات صعودی می‌باشد.

در جدول ۸ نحوه تاثیر کسر حجمی نانوذرات بر روی عدد ناسلت میانگین دیواره سرد محفظه در عدد رایلی  $10^4$  و  $10^5$  و ضریب تخلخل  $4/4=0.04$  بر روی هندسه شامل چهارسیلندر بررسی شده است. توضیح‌های بیان‌شده در مورد جدول ۷، در این



شکل (۹): ادامه.

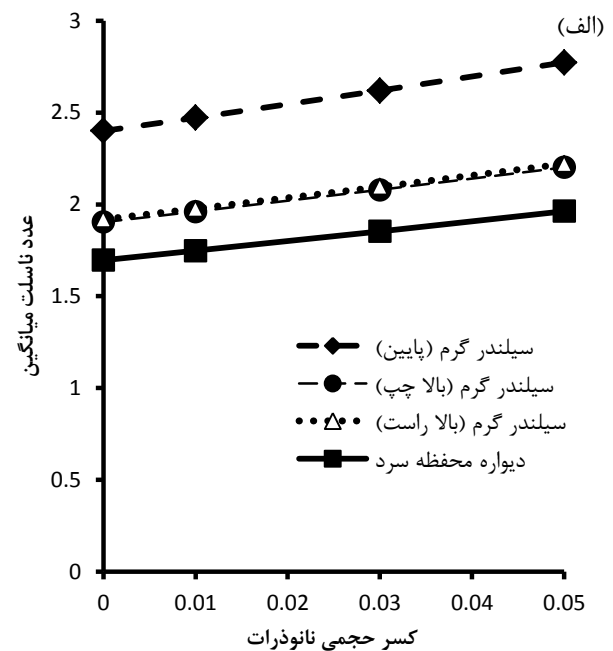
چهارسیندلر می‌باشد. روند صعودی بودن افزایش عدد ناسلت بر حسب افزایش کسر حجمی که در جداول ۷-۸ توضیح داده شده است، در این نمودارها به‌وضوح قابل مشاهده نمی‌باشد، به‌طوری که در نگاه اول این روند افزایش با شبیه ثابت به‌نظر می‌رسد. علت این خط، کوچک‌بودن روند صعودی افزایش عدد ناسلت میانگین بر حسب افزایش کسر حجمی می‌باشد. البته به احتمال زیاد با بالارفتن کسر حجمی تا اعدادی از مرتبه ۱۰ درصد این روند صعودی به‌خوبی مشاهده خواهد شد و نمودارها از حالت خط با شبیه ثابت به نمودارهای منحنی با شبیه متغیر در نقاط مختلف تغییرشکل خواهند داد. نکته قابل توجه در مورد نمودارهای شکل ۹، با افزایش کسر حجمی نانوذرات رفتار مشابهی در هر هندسه سیلندرهایی که از لحاظ مکانی در یک ارتفاع از ضلع پایینی محفظه قرار دارند، مشاهده می‌شود. دلیل این تشابه تقارن جریان جایه‌جایی طبیعی بین محفظه و سیلندرها نسبت به خط عمودی گذرنده از مرکز هندسه می‌باشد.

#### ۴- نتیجه‌گیری

در مقاله حاضر جریان و انتقال حرارت جایه‌جایی آزاد نانوسیال بین محفظه مربعی سرد و سیلندر یا سیلندرهای داخلی گرم که مملو از محیط متخلخل همگن می‌باشد، با استفاده از کد کامپیوتربی نوشته شده به زبان فرتمن با روش شبکه بولتزمن شبیه‌سازی شد. تاثیر تعداد سیلندرهای داخلی بر روی جریان و ویژگی‌های انتقال حرارتی در محیط متخلخل با ضرایب تخلخل و اعداد دارسی گوناگون و همچنین، تاثیر کسر حجمی نانوذرات موردن مطالعه قرار گرفت. با توجه به نمودارها و نتایج عددی به دست آمده می‌توان نتایج را به صورت زیر خلاصه کرد:

- در عدد دارسی و ضریب تخلخل ثابت با افزایش اندازه عدد رایلی، تفاوت‌های ایجاد شده در الگوی خطوط جریان و هم‌دما باعث افزایش عدد ناسلت میانگین دیواره سرد محفظه (معیار مشترک مقایسه عملکرد هندسه‌های مختلف به کار گرفته شده برای ارزیابی عملکرد انتقال حرارت جایه‌جایی طبیعی می‌باشد) می‌شود، که دلیل عملکرد حرارتی جریان جایه‌جایی طبیعی بهتر در اعداد رایلی بالاتر می‌باشد،

- در عدد رایلی و ضریب تخلخل ثابت در هندسه‌های مختلف شبیه‌سازی شده، با کاهش عدد دارسی به‌طور حتم، نفوذپذیری در محیط متخلخل همگن کاهش می‌یابد و ماهیت جریان به‌گونه‌ای تغییر می‌کند که باعث کاهش عملکرد حرارتی جریان جایه‌جایی طبیعی می‌شود،



شکل (۹): تاثیر افزایش کسر حجمی بر روی عدد ناسلت میانگین دیواره محفظه و سیلندرهای داخلی گرم در ضریب تخلخل  $0.1/4$  و عدد دارسی  $10^4$  برای هندسه شامل، (الف)

سه سیلندر در رایلی  $10^4$ ، (ب) چهارسیندلر در رایلی  $10^5$ .

2. Hsu, C. and Vafai, K. "Handbook of Porous Media", Taylor and Francis Group, Boca Raton, 2005.
3. Nield, D. and Bejan, A. "Convection in Porous Media", Springer, New York, 1999.
4. Tomadakis, M.M. and Robertson, T.J. "Viscous Permeability of Random Fiber Structures: Comparison of Electrical and Diffusional Estimates with Experimental and Analytical Results", Journal of Composite Materials, Vol. 39, No. 2, pp. 163-188, 2005.
5. P. Nithiarasu, P., Seetharamu, K., and Sundararajan, T. "Natural Convective Heat Transfer in a Fluid Saturated Variable Porosity Medium", International Journal of Heat and Mass Transfer, Vol. 40, No. 16, pp. 3955-3967, 1997.
6. Moukalled, F. and Acharya, S. "Natural Convection in the Annulus between Concentric Horizontal Circular and Square Sylinders", Journal of Thermophysics and Heat Transfer, Vol. 10, No. 3, pp. 524-531, 1996.
7. Guo, Z. and Zhao, T. "Lattice Boltzmann Model for Incompressible Flows through Porous Media", Physical Review E, Vol. 66, No. 3, pp. 036304, 2002.
8. Seta, T. Takegoshi, E. Okui, and K. "Lattice Boltzmann Simulation of Natural Convection in Porous Media", Mathematics and Computers in Simulation, Vol. 72, No. 2, pp. 195-200, 2006.
9. Azwadi, C. and Irwan, M. "Simplified Mesoscale Lattice Boltzmann Numerical Model for Prediction of Natural Convection in a Square Enclosure Filled with Homogeneous Porous Media", WSEAS Transactions on Fluid Mechanics, Vol. 5, No. 3, pp. 186-195, 2010.
10. Zhao, C.Y., Dai, L., Tang, G., Qu, Z., and Li, Z. "Numerical Study of Natural Convection in Porous Media (Metals) Using Lattice Boltzmann Method (LBM)", International Journal of Heat and Fluid Flow, Vol. 31, No. 5, pp. 925-934, 2010.
11. Mohd, I.M.A. and Azwadi, N.C.S. "Numerical Prediction of Natural Convection Heat Transfer Through Porous Media by the Lattice Boltzmann Method", Applied Mechanics and Materials, Vol. 110, pp. 4439-4444, 2012.
12. Habeeb, L.J. "Numerical Simulation of Convective Heat Transfer and Fluid Flow through Porous Media with Different Moving and Heated Walls", International Scholarly and Scientific Research and Innovation, Vol. 6, No. 9, pp. 279-291, 2012.
13. Jin, L. Zhang, X. and Niu, X. "Lattice Boltzmann Simulation for Temperature-Sensitive Magnetic Fluids in a Porous Square Cavity", Journal of Magnetism and Magnetic Materials, Vol. 324, No. 1, pp. 44-51, 2012.
14. Haghshenas, A. Nasr, M.R., and Rahimian, M. "Numerical Simulation of Natural Convection in an Open-Ended Square Cavity Filled with Porous Medium by Lattice Boltzmann Method",

- در اعداد دارسی و رایلی ثابت با افزایش ضریب تخلخل مقدار عدد ناسلت میانگین دیواره محفظه سرد افزایش می‌یابد. هرچه ضریب تخلخل افزایش یابد، در واقع اثرات محیط متخلخل بر روی جریان جابه‌جایی طبیعی کاهش می‌یابد و مقاومت در برابر جریان نانوسیال کاهش و انتقال حرارت افزایش می‌یابد.
- در حالت کلی، تاثیر بیشتری نسبت به سایر پارامترهای موثر در رایلی، بهبود انتقال حرارت دارد.
- اگر در هندسه‌ای هدف انتقال حرارت جابه‌جایی طبیعی از سیلندر سطح گرم به دیواره محفظه سرد در برگیرنده آن مطرح باشد (با معیار عدد ناسلت میانگین دیواره محفظه سرد)، استفاده از چندسیلندر با سطح گرم با شعاع‌های متفاوت از سیلندر اولیه به جای تکسیلندر با شرط برابری مساحت انتقال حرارت مجموع سطوح گرم در هندسه‌های مختلف، انتخابی معقول به نظر می‌رسد. البته لازم به توضیح است که امکان تاثیرگذاری آرایش قرارگرفتن سیلندرهای گرم بر نحوه جریان جابه‌جایی طبیعی و انتقال حرارت آن وجود دارد. مطلب اخیر بیان شده خارج از بحث این مطالعه می‌باشد و نتیجه بیان شده براساس هندسه‌های توصیف شده در بخش بیان مسئله استخراج شده است و
- در عدد دارسی و رایلی و ضریب تخلخل ثابت، افزایش کسر حجمی نانوذرات در جریان جابه‌جایی طبیعی باعث بهبود عملکرد حرارتی می‌شود.

در مجموع برای بهبود انتقال حرارت در جریان جابه‌جایی طبیعی نانوسیال در فضای متخلخل همگن بین محفظه مربعی سرد با وجود سیلندر داخلی گرم می‌توان از افزایش عدد رایلی و کسر حجمی نانوذرات به کار گرفته شده، استفاده کرد. از طرفی برای کنترل و کاهش انتقال حرارت مربوطه می‌توان از کاهش ضریب تخلخل و عدد دارسی بهره جست. به کار گرفتن هندسه شامل چندسیلندر به جای تکسیلندر در گرم کردن محفظه مربعی سرد می‌تواند، مفید باشد.

## ۶- مراجع

1. Clague, D.S. and Phillips, R.J. "A Numerical Calculation of the Hydraulic Permeability of Three-dimensional Disordered Fibrous Media", Physics of Fluids, Vol. 9, No. 6, pp. 1562-1572, 1997.

- International Communications in Heat and Mass Transfer, Vol. 37, No. 10, pp. 1513-1519, 2010.
15. Varol, Y. "Natural Convection for Hot Materials Confined within Two Entrapped Porous Trapezoidal Cavities", International Communications in Heat and Mass Transfer, Vol. 39, No. 2, pp. 282-290, 2012.
16. Servati V, A.A., Javaherdeh, K., and Ashorynejad, H.R. "Magnetic Field Effects on Force Convection Flow of a Nanofluid in a Channel Partially Filled with Porous Media Using Lattice Boltzmann Method", Advanced Powder Technology, Vol. 25, No. 2, pp. 666-675, 2014.
17. Abu-Nada, E. Masoud, Z., and Hijazi, A. "Natural Convection Heat Transfer Enhancement in Horizontal Concentric Annuli, Using Nanofluids, International Communications in Heat and Mass Transfer, Vol. 35, No. 5, pp. 657-665, 2008.
18. Bhatnagar, P.L. Gross, E.P., and Krook, M. "A Model for Collision Processes in Gases. I. Small Amplitude Processes in Charged and Neutral One-Component Systems", Physical Review, Vol. 94, No. 3, p. 511, 1954.
19. He, X. Chen, S., and Doolen, G.D. "A Novel Thermal Model for the Lattice Boltzmann Method in Incompressible Limit", Journal of Computational Physics, Vol. 146, No. 1, pp. 282-300, 1998.
20. Nor Azwadi, C. and Tanahashi, T. "Simplified Thermal Lattice Boltzmann in Incompressible Limit", International Journal of Modern Physics B, Vol. 20, No. 17, pp. 2437-2449, 2006.
21. Mohamad, A. "Lattice Boltzmann Method": Springer, London, 2011.
22. Khanafer, K. Vafai, K. and Lightstone, M. "Buoyancy-Driven Heat Transfer Enhancement in a Two-dimensional Enclosure, Utilizing Nanofluids", International Journal of Heat and Mass Transfer, Vol. 46, No. 19, pp. 3639-3653, 2003.
23. Wang, X.Q. and Mujumdar, A.S. "Heat Transfer Characteristics of Nanofluids - A Review", International Journal of Thermal Sciences, Vol. 46, No. 1, pp. 1-19, 2007.
24. Brinkman, H. "The Viscosity of Concentrated Suspensions and Solutions", Journal of Chemical Physics, Vol. 20, No. 4, pp. 571-571, 1952.
25. Hwang, K.S. Lee, J.H., and Jang, S.P. "Buoyancy-Driven Heat Transfer of Water-Based Al<sub>2</sub>O<sub>3</sub> Nanofluids in a Rectangular Cavity", International Journal of Heat and Mass Transfer, Vol. 50, No. 19, pp. 4003-4010, 2007.
26. Mei, R. Luo, L.S., and Shyy, W. "An Accurate Curved Boundary Treatment in the Lattice Boltzmann Method", Journal of Computational Physics, Vol. 155, No. 2, pp. 307-330, 1999.